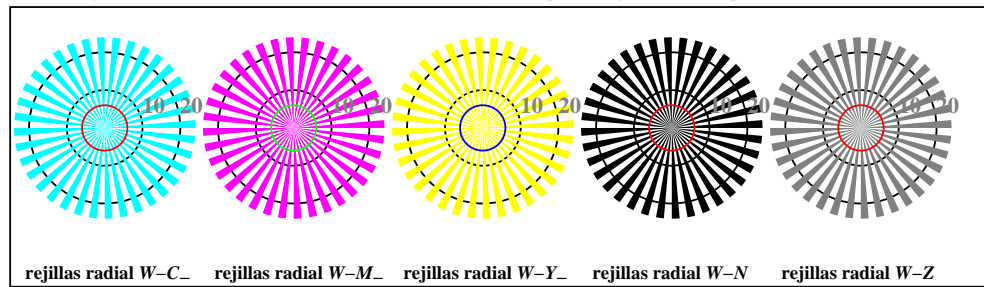
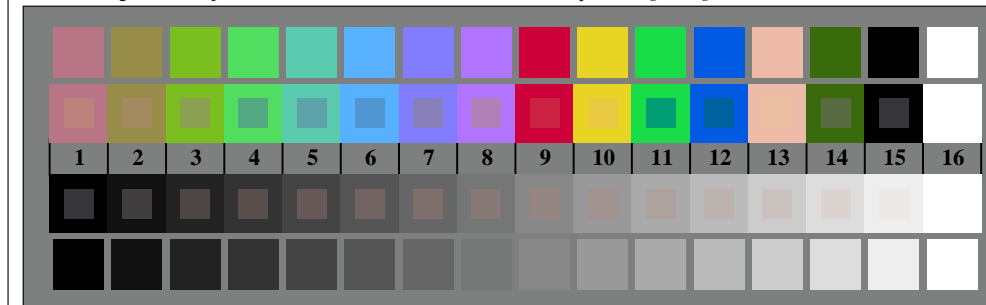




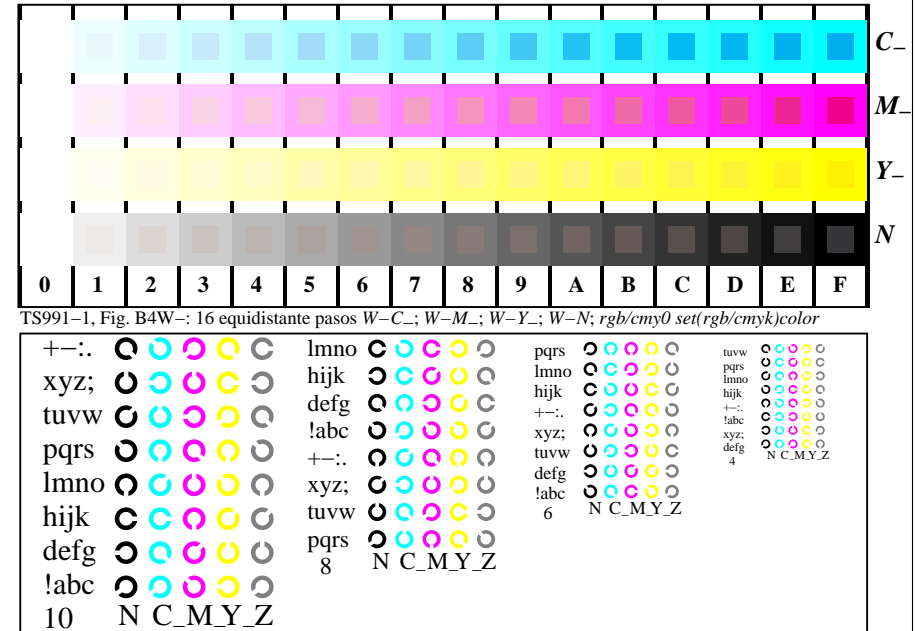
TS990-3, Fig. D1W-: motivos florales, CIE 14 colores del test y 2 + 16 pasos de gris (sf); ; PS operator: 4 colorimage



TS990-5, Fig. B2W-: rejillas radial W-C_-; W-M_-; W-Y_-; W-N; PS operator: $rgb \rightarrow rgb_setrgbcolor$



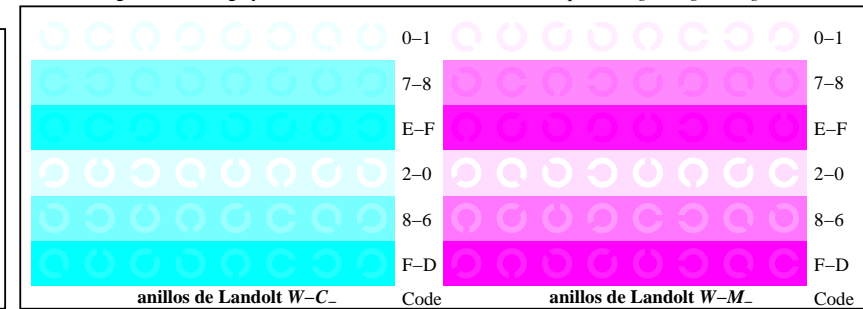
TS990-7, Fig. B3W-: CIE 14 colores del test y 2 + 16 pasos de gris (sf); PS operator: $rgb/cmym0\ set(rgb/cmymk)color$



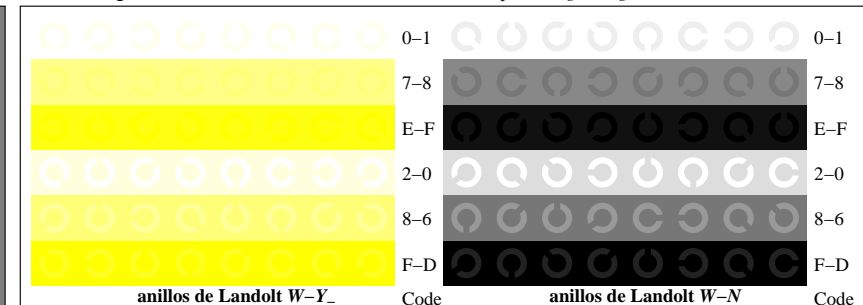
TS991-1, Fig. B4W-: 16 equidistante pasos W-C_-; W-M_-; W-Y_-; W-N; $rgb/cmym0\ set(rgb/cmymk)color$

+..:	0	tuvw
xyz;	1	pqrs
tuvw	2	lmno
pqrs	3	hijk
lmno	4	defg
hijk	5	!abc
defg	6	xyz;
!abc	7	tuvw
xyz;	8	defg
tuvw	A	!abc
defg	B	xyz;
!abc	C	tuvw
xyz;	D	defg
tuvw	E	!abc
defg	F	xyz;

TS991-3, Fig. B5W-: codigo y Landolt annilos N; C_-; M_-; Y_-; Z; PS operator: $rgb \rightarrow rgb_setrgbcolor$



TS991-5, Fig. B6W-: anillos de Landolt W-C_-; W-M_-; PS operator: $rgb\ setrgbcolor$



TS991-7, Fig. B7W-: anillos de Landolt W-Y_-; W-N; PS operator: $rgb\ setrgbcolor$